

地工学

(下)

第十三章 变压器

13-1. 基本概念

电工技术的主要任务之一是把能量从藏有廉价的自然資源（水落差，泥炭，煤）的地方輸送到分布有用戶的許多地方去。在这时候，电力傳輸線的电压越高，则輸送同样功率所需的电流越小，因而导綫的截面積也就越小。因此，經濟的远距离輸电只有在高压下才是可能的。但是要在发电厂里直接发出为輸送数百公里远所需的高压电是极端困难的，并且在如此高的电压下来应用电能也是很不便的，所以把低压的强电流轉变为高压的但强度小到原来的許多分之一的电流或者倒过来的轉变就显得十分必要了。在現代，这一問題只有依靠工作于交流电之下的变压器才能获得既簡便又經濟的解决。

从中心发电站到用戶的路程上，在大多数情况下电能的变压至少三次（图 13-1）。在发电站，交流发电机給出的是高压（6—30 千伏）电流。但这种电压还不足以将电能作远距离的傳輸，因此，发电站要通过

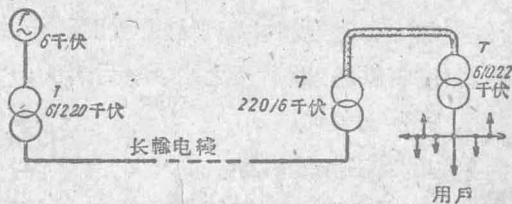


图 13-1. 現代供电示意图。

变压器才接到傳輸線，变压器将电压升高到 100—500 千伏。輸电线愈長，这一电压就愈高。在这非常高的电压下，电能傳輸到工业中心的

用户。在市郊变电所，电压降低到6—10千伏。在这样的电压下，使用地下电缆输电线就不会有特别的困难。电能用这种电缆传输到用电地点，在这里进行第三次变压，因此，用户便有可能在低压(127—220伏)下使用电能。

图13-1给出了输电的单线示意图，即用一根线表示三相系统所有三相的线路。这一简图清晰地表明，变压器的总功率应较安装在发电站上的所有发电机的总功率大二倍。从这里可以清楚地看出，在整个现代的供电系统中变压器起着十分重要的作用。

1876年，П. Н. 亚勃洛契柯夫(Яблочков)首先实际应用了变压器，他设计了变压器的结构，作为自己的电烛的供电之用。

变压器^①是以互感现象(§ 5-5)为作用原理的静止的电磁装置。在变压器里面，某一电压的交流电转变为同频率的另一电压的交流电。它有着在电方面互相绝缘的数个绕组(不少于两个)。和电源联接的绕组称作原绕组，其他向外电路输出电能的绕组则称作副绕组。

如果原绕组端的电压——原电压 U_1 低于副电压 U_2 ，则变压器称为升压变压器；相反的情形则称作降压变压器($U_1 > U_2$)。绕组按照额定电压的相对大小分为高压绕组(BH)和低压绕组(HH)两种。

为了加强绕组间的磁的联系，两个绕组一齐装在一个用工钢片做成的闭合铁心上。在频率大约高于20千周/秒时，应用铁心就不适宜了，这是由于铁损加大和磁通将挤缩于铁心表面的缘故(§ 10-2)。因此制造空心变压器(没有铁心)供高频之用。对后者的研究超出本课程的范围。

变压器分为单相的和三相的。

根据国定全苏标准(POCT)，在变压器的名牌上标明下列的额定数据：表现功率；线电压；额定功率时的线电流；频率；相数；接线图和接线组(§ 13-13)；短路电压(§ 13-9)；运行情况(持续的还是短时的)以

^① 变压器的俄文名是 трансформатор，起源于拉丁字 transformare，意即转换。

及冷却方法。

在图 13-2 上给出了变压器的主要符号表示法。

13-2. 变压器的作用原理

我們研究的主要对象是具有鐵心的单相双繞組变压器。对于一切类型的变压器說来，这种变压器的工作过程和电气关系可以认为基本上具有代表性的。

加在原繞組两端的电压 u_1 (图 13-3) 在这个繞組里产生交变电流 i_1 。和鐵心綫圈一样 (§ 10-2)，电流在变压器的鐵心里激发出交变磁通 Φ 。由于这个磁通作周期变化，在变压器的两个繞組里感应而生电动势：

$$e_1 = -w_1 \frac{d\Phi}{dt}$$

$$\text{和} \quad e_2 = -w_2 \frac{d\Phi}{dt};$$

图 13-3. 具有鐵心的双繞組变压器的装置图。此处 w_1 和 w_2 分別为两个繞組的匝数。两个繞組中所感应的电动势的比值就等于这些繞組的匝数的比值：

$$\frac{e_1}{e_2} = \frac{w_1}{w_2}.$$

电动势的有效值和变压器磁通的幅值間的关系，同鐵心綫圈一样，可用以下的方程式来表示：

$$E_1 = 4.44 f w_1 \Phi_m; \quad (13-1)$$

$$E_2 = 4.44 f w_2 \Phi_m. \quad (13-2)$$

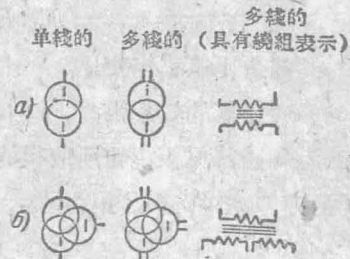
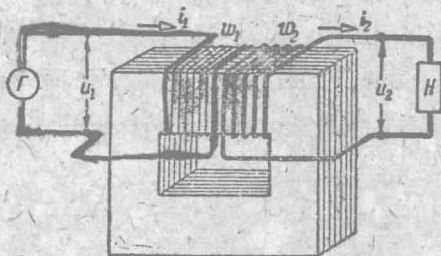


图 13-2. 变压器的符号。

a—具有鐵心的单相变压器；

b—单相三繞組变压器。



因此, 变压器的电动势的有效值間的比值也等于匝数間的比值:

$$E_1:E_2=w_1:w_2=k_{12}。 \quad (13-3)$$

这个比值称作变比。

变压器的效率很高, 平均約为 98%; 这就使得在額定負載下可以認為变压器原級繞組所取得的功率和副級繞組所发出的功率近似地相等, 亦即 $p_1 \approx p_2$ 或 $u_1 i_1 \approx u_2 i_2$, 于是,

$$i_1:i_2 \approx u_2:u_1 \approx w_2:w_1。$$

这个电流和电压瞬时值的比例对于幅值以至于有效值來說仍是正确的:

$$\frac{I_1}{I_2} \approx \frac{w_2}{w_1} \approx \frac{U_2}{U_1}, \quad (13-4)$$

这就是說, 当負載接近于額定負載时, 可以認為变压器各繞組中电流的比值等于相应的繞組中的电压或匝数的比值的倒数。

在变压器运行时, 原繞組和副繞組中的电动势分別起着不同的作用。原繞組中所感应的电动势 e_1 是作为反对原电流 i_1 的变化而产生的。就相位來說, 这个电动势差不多和电压 u_1 相反。和有感电路一样 (§ 7-7), 原电流

$$i_1 = \frac{u_1 + e_1}{R_1},$$

这里 R_1 是原繞組的有效电組。由此得到原电压瞬时值的方程式:

$$u_1 = -e_1 + i_1 R_1 = w_1 \frac{d\Phi}{dt} + i_1 R_1, \quad (13-5)$$

这个式子可以看作是电平衡的条件: 加在原繞組两端的电压 u_1 永远为电动势 e_1 和繞組有效电阻上的电压降所平衡(第二項很小)。

副电路一边则另是一种情况。这里电流 i_2 是由电动势 e_2 所生的, 后者起着电源电动势的作用。当負載为純电阻 R_n 时, 副电路的电流

$$i_2 = \frac{e_2}{R_2 + R_n},$$

其中 R_2 是副繞組的有效电阻^①。

就第一次近似來說，副电流 i_2 对变压器原电路的影响将如下述。

經過副繞組的电流 i_2 力图在变压器铁心中产生磁通，后者决定于磁化力 $i_2 w_2$ 。按照楞次定律，这个磁通的方向必将与主磁通的方向相反；換句話可以說，副电流力图削弱产生它的磁通。但是主磁通 Φ 的减弱将破坏电平衡关系 $u_1 = i_1 R_1 + w_1 \frac{d\Phi}{dt}$ ，而使原电压 u_1 的一边占优势，所以伴随着副电流的出現，原电流必将同时增加以抵消副电流的去磁作用而保持电的平衡关系。因此，副电流的任何变化必定会引起原电流相应的变化。由于 $i_1 R_1$ 相当小，所以从工程准确度看来副电流差不多不会影响到变压器主磁通的幅值以及它的随时间而变化的性质，因此主磁通的幅值 Φ_m 可以認為是一常数。这个常数 Φ_m 可以表征变压器运行于不变的原級外施电压 U_1 时的情形。

13-3. 变压器的空载运行

在变压器的原繞組上加以額定电压 U_1 ，而将副电路开路，这就是**变压器的空載运行**。变压器在这种运行情况下实质上与铁心綫圈毫无区别。图 13-4 所表示的向量图差不多就是相应的铁心綫圈的向量图的重复，所不同的只是某些符号变了，另外还增添了一个向量 E_2 。

經過原繞組的变压器空載电流 I_0 ，以它的磁化力 $I_0 w_1$ 激发出铁心里的磁通 Φ 和原繞組漏磁通 Φ_{p1} 。后者全部或部分地

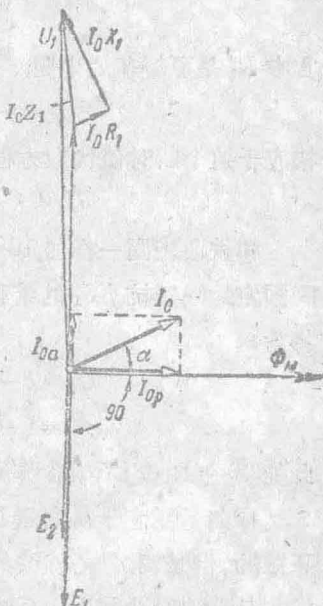


图 13-4. 空载运行时变压器的向量图。

^① 我們在此暫且不考慮由于漏磁存在而产生的原、副繞組的感抗，關於這方面的問題將在以下提出。

經過空气而閉合，但不穿过副繞組。根据和一般綫圈同样的理由，可以認為，当繞組端电压 u_1 是正弦波形时，鐵心的磁通也具有正弦波形，也就是說 $\Phi = \Phi_m \sin \omega t$ 。这个磁通在变压器的两个繞組中感应出电动势：

$$e_1 = -w_1 \frac{d\Phi}{dt} = \omega w_1 \sin \left(\omega t - \frac{\pi}{2} \right)$$

和 $e_2 = -w_2 \frac{d\Phi}{dt} = \omega w_2 \sin \left(\omega t - \frac{\pi}{2} \right)$,

亦即两个电动势在相位上都落后于磁通四分之一周期。原級漏磁通 Φ_{p1} 在原繞組中感应产生电动势 e_{p1} 。可以認為，原繞組中电流 i_0 的瞬时值就决定于外施电压和繞組中两个感应电动势的共同作用，所以，

$$i_0 = \frac{u_1 + e_1 + e_{p1}}{R_1},$$

其中 R_1 是原繞組的电阻。换个样子写：

$$u_1 = (-e_1) + i_0 R_1 + (-e_{p1}).$$

相应于这个瞬时值代数方程的有效值向量方程为：

$$\dot{U}_1 = (-\dot{E}_1) + \dot{I}_0 R_1 + (-\dot{E}_{p1}).$$

和鐵心綫圈一样（§ 10-6），电压 $(-\dot{E}_{p1})$ 可以用电流 \dot{I}_0 和原繞組的固定的漏感抗 jX_1 的乘积来表示，亦即 $-\dot{E}_{p1} = \dot{I}_0 j X_1$ 。于是原电压将为：

$$\begin{aligned} \dot{U}_1 &= (-\dot{E}_1) + \dot{I}_0 (R_1 + jX_1) = \\ &= (-\dot{E}_1) + \dot{I}_0 Z_1, \end{aligned} \quad (13-6)$$

此处 $Z_1 = R_1 + jX_1$ ，称作原繞組的內阻抗。

作向量图宜于从向量 $\dot{\Phi}_m$ ——鐵心磁通开始。电流 \dot{I}_0 实际上是非正弦的，但是，和鐵心綫圈的情况一样，为了简化关系，我們用等效正弦波来替代它（§ 10-3）。后者的向量越前于磁通向量一个磁滞角 α 。两个电动势 E_1 和 E_2 的向量都落后 90° 于 $\dot{\Phi}_m$ 。最后，按照电压方程（13-6）来决定 \dot{U}_1 ：作向量 $(-\dot{E}_1)$ ，它恰与 \dot{E}_1 相反，然后在 $(-\dot{E}_1)$ 上加上平行于 \dot{I}_0 的向量 $\dot{I}_0 R_1$ 和越前 $\dot{I}_0 90^\circ$ 的向量 $\dot{I}_0 X_1$ 。內阻抗电压降

$I_1 Z_1$ 封闭了内电压降的直角三角形，后者以电阻降和电抗降为其勾股。

但是我們所画的空载向量图只在定性关系上是正确的。当实际地画真正的变压器的向量图时，为了保持定量的关系，内电压降的三角形将差不多变成一个点。设计变压器时要使得它在满负载时的内电压降 $I_1 Z_1$ 只占 U_1 的很小的一个百分数。就空载电流 I_0 来说，也只占额定原电流的 3—10%（变压器越大，百分数越小）；所以， $I_0 Z_1$ 是很小的。上述的这种情况就用来在实际工作中根据空载试验以决定变压器的变比。在空载的情况下，原电压 U_1 的数值差不多就等于电动势 E_1 （相位相差 180° ）；又由于副绕组中没有电流，所以副电压 U_{20} 就等于铁心磁通在副绕组中所感应的电动势 E_2 。这样一来，空载时两边的电压差不多是可以认为分别等于相应的电动势的，而根据后者之间的比例可以决定变比：

$$k_{12} = \frac{w_1}{w_2} = \frac{E_1}{E_2} = \frac{U_1}{U_{20}} \quad (13-7)$$

在变压器的名牌上，这个比值用空载时额定电压间的比例的形式表示，例如，6000/230 伏。因为同一个变压器既可用作降压变压器，又可用作升压变压器，所以名牌上的变比通常只标出高电压对低电压的比例。

给定了电压 U_{20} 的数值和铁心截面 S ，就可以大体上确定变压器绕组的匝数。根据 $U_{20} = E_2 = 4.44 f w_2 S B_m$ ，所以

$$w_2 = \frac{U_{20}}{4.44 f S B_m}$$

磁感应强度 B_m 的数值的选择应使得铁心的材料得到充分的利用：磁感应强度如太小，铁心就未全部利用；磁感应强度如太大，则铁心中的损失将太大而且磁化电流会过大因而使设备的功率因数 $\cos \varphi$ 恶化。对于变压器， B_m 大致在 1 至 1.4 韦/平方米（即 10000 至 14000 高斯）的范围内，变压器越大且其冷却很有力时，磁感应强度可越大。

变压器空载电流 I_0 的计算和铁心线圈中电流 (§ 10-4) 的计算一样：无功分量 I_{0P} 根据变压器的磁路计算来确定，而有功分量 I_{0A} 则根据铁损来确定。在大多数情形下，有功分量小于 I_0 的 10%，所以对于后者的有效值

$$I_0 = \sqrt{I_{0A}^2 + I_{0P}^2}$$

的影响很小；因此，如果仅仅根据无功分量的计算来决定空载电流的有效值的话，其误差也是极小的（约为 0.5%）。

空载情况下变压器所取得的功率消耗于铁损和原绕组的铜损 $I_0^2 R_1$ 。绕组的铜损在满负载时为 0.25% 至 2%（变压器功率越大，则铜损越小），而在空载时由于 I_0 比较小所以比之铁损就微不足道了。因此变压器空载时的所有功率实际上可说都消耗于铁损。根据这一点，空载试验也可以决定变压器的铁损。

13-4. 任载变压器绕组中的电流

运行情况下的变压器，其原电压 U_1 差不多是不随负载而变的。

副绕组与任一负载接通时，其中就有电流 I_2 ，它的磁化力 $I_2 w_2$ 将力图削弱铁心磁通，因而也将减弱 E_1 。但是，这正破坏了电的平衡，所以磁化力 $I_1 w_1$ 将增加以维持平衡，这样也就使得铁心的磁通（其幅值 Φ_m ）差不多就保持不变。相应于这一个磁通有一个恒定的磁化力的数值，不论任载或空载，它都是不变的。

这样来说，在任载变压器中的磁通是由原级磁化力 $I_1 w_1$ 和副级磁化力 $I_2 w_2$ 的共同作用所产生，但这两个磁化力的向量和，差不多可以认为等于恒定的空载电流磁化力的数值：

$$I_1 w_1 + I_2 w_2 = I_0 w_1 \quad (13-8)$$

或者

$$I_1 w_1 = (-I_2 w_2) + I_0 w_1, \quad (13-9)$$

也就是说，原电流的磁化力平衡了副电流的去磁作用而维持了铁心中

的磁通。

磁化力之間的关系(13-9)很容易轉換为电流間的关系，把式中各項都以 w_1 除之：

$$\dot{I}_1 = \dot{I}_0 + \left(-\dot{I}_2 \frac{w_2}{w_1} \right),$$

向量

$$-\dot{I}_2 \frac{w_2}{w_1} = \dot{I}'_2 \quad (13-10)$$

是原电流中用以平衡副电流的去磁作用的分量。它称作归化的副电流。于是原电流

$$\dot{I}_1 = \dot{I}_0 + \dot{I}'_2, \quad (13-11)$$

也就是说，原电流等于空載电流与归化的副电流的几何和。

副电流自零开始增加，原电流則自空載电流开始上升。当滿載时，原电流将达到这样一个数值，其时空載电流只占它的一个很小的百分数，所以滿載时的近似計算可以略去空載电流，認為

$$\dot{I}_1 \approx \dot{I}'_2;$$

于是，在此情况下

$$\dot{I}_1 \approx \dot{I}_2 \frac{w_2}{w_1},$$

或

$$\frac{\dot{I}_1}{\dot{I}_2} \approx \frac{w_2}{w_1},$$

在 § 13-2 里，我們已經从变压器的能量关系中得出了这个近似的關係。

13-5. 副电压与副繞組漏磁

副电流的磁化力 $I_2 w_2$ 力图产生两种磁通：鐵心中的磁通和副級漏磁通。其中第一部分与主磁通方向相反，为原电流的磁化力 $I_1 w_1$ 所抵消；剩下来的就只有比較小的副級漏磁通 Φ_{p2} 。这个磁通完全經由或部分地經由空气或其他非磁性材料而閉合。它圍繞着副繞組但不經

过原繞組(图 13-5)。在副繞組中,这个磁通感应产生一个不大的电动势 $e_2 = -w_2 \frac{d\Phi_{p2}}{dt}$ 。如果把漏磁通当作是正弦的,那末副級漏磁电动势的有效值将为

$$E_{p2} = 4.44 f w_2 \Phi_{p2m}.$$

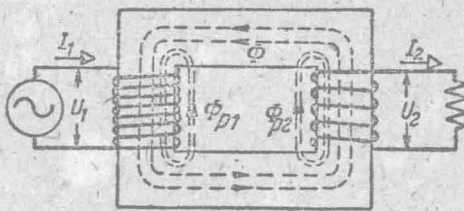


图 13-5. 任载变压器的磁通。

这么一来,在任载变压器的副繞組中就有两部分电动势: 其中之一为主磁通所生的 E_2 , 另一为副級漏磁所生的 E_{p2} 。因此,与阻抗 Z_n 接通的副繞組的电流 I_2 将由这两个电动势的作用所产生:

$$\dot{I}_2 = \frac{\dot{E}_2 + \dot{E}_{p2}}{R_2 + Z_n},$$

其中 R_2 为副繞組的电阻(铜的电阻)。

因为 $\dot{I}_2 Z_n = \dot{U}_2$ 为副繞組两端的电压, 所以

$$\dot{E}_2 = \dot{U}_2 + \dot{I}_2 R_2 + (-\dot{E}_{p2}).$$

和原級漏磁通一样, 副級漏磁通也可以认为与它的激磁电流成正比。这就是 $(-\dot{E}_{p2}) = \dot{I}_2 j X_2$, 此处 X_2 为副級漏感抗。因此,

$$\dot{U}_2 = \dot{E}_2 - \dot{I}_2 (R_2 + j X_2) = \dot{E}_2 - \dot{I}_2 Z_2. \quad (13-12)$$

在这个式子里, Z_2 是副繞組的內阻抗而 $\dot{I}_2 Z_2$ 是它的內阻抗降。 Z_2 和 Z_1 一样, 是一个相对恒定的量。

13-6. 任载变压器的向量图

任载变压器的向量图(图 13-6)清晰地表明了它的电压与电流間

的关系。画这个向量图时最好先从主磁通 $\dot{\Phi}_m$ 开始。电流 I_0 的向量越前于 $\dot{\Phi}_m$ 一个磁滞角 α , 而电动势 \dot{E}_2 落后 90° 于 $\dot{\Phi}_m$ 。副电流 I_2 的向量与 \dot{E}_2 在相位上相距某一角度 ψ_2 。

在负载含有电感的情况下, 也就是当 $Z_n = R_n + jX_n$ 时, 上述的角度将为

$$\psi_2 = \arctg \frac{X_2 + X_n}{R_2 + R_n}.$$

以这个角度从 \dot{E}_2 作出 \dot{I}_2 来。为了画出副电压 U_2 的向量应该从 \dot{E}_2 中减去副绕组的电抗降 $\dot{I}_2 j X_2$ 和电阻降 $\dot{I}_2 R_2$ 。 $\dot{I}_2 j X_2$ 的向量越前 90° 于 \dot{I}_2 ; 为了得到这个向量, 从 \dot{E}_2 的端点作一垂直于 \dot{I}_2 的直线, 并从同一端点出发在此直线上截取长度等于 $I_2 X_2$ 的一段便是。从 $I_2 X_2$ 的另一端作平行于 \dot{I}_2 的直线, 在此直线上截取长度为 $I_2 R_2$ 的一段便得 $\dot{I}_2 R_2$ 。 $I_2 Z_2$ 的向量就是副绕组内电压降三角形的斜边。用这种方法得到 $\dot{U}_2 = \dot{E}_2 - \dot{I}_2 Z_2$, 它越前于 \dot{I}_2 的角度为

$$\varphi_2 = \arctg \frac{X_n}{R_n}.$$

把电流 \dot{I}_0 和归化副电流 $\dot{I}'_2 = -\dot{I}_2 \frac{w_2}{w_1}$ 向量相加, 我们可以得到原电流的向量。 \dot{I}'_2 与 \dot{I}_2 的方向相反。至于原电压向量 \dot{U}_1 则可用和空载向量图一样的法子画出来。

在对 $\dot{\Phi}_m$ 越前 90° 的向量 ($-\dot{E}_1$) 上, 加以原绕组的内电压降向量: 平行于 \dot{I}_1 的电阻降 $\dot{I}_1 R_1$ 和对 \dot{I}_1 越前 90° 的电抗降 $\dot{I}_1 X_1$ 。用此法所得的向量 \dot{U}_1 以 φ_1 角越前于 \dot{I}_1 。这角度大于 φ_2 , 因为有磁化电流和变压器内电感抗的缘故。

当副电路中的负载含有较大的电容, 亦即当 $Z_n = R_n - jX_n$ 时 (图

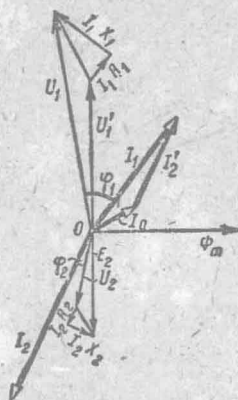


图 18-6. 负载含有电阻和感抗的变压器的向量图。

13-7), 变压器的向量图将有独特的变化。当然, 向量图的作法和以前

完全一样, 但是它的一般形状却有了显著的不同。电容性负载下, \dot{I}_2 越前于 \dot{E}_2 的角度是

$$\psi_2 = \arctg \frac{X_n - X_2}{R_n + R_2}.$$

负载的电容抗和副绕组的漏感抗有一部分是相互抵消的, 由于这个缘故, \dot{U}_2 可能大于 \dot{E}_2 。电流 \dot{I}'_2 的容性分量的一部分为 \dot{I}_0 的感性分量所抵消, 因此 $I_1 < I'_2$ 。最后, 原电压 U_1 也可以小于 $(-E_1)$, 因为原电路中容性

反应的一部分将被原绕组的漏电

感所补偿。 \dot{U}_1 和 \dot{I}_1 之间的相角差比 \dot{U}_2 和 \dot{I}_2 之间的相角差小, 这是由于副电路的容性反应在传到原电路时其中一部分为变压器的内电感所抵消的缘故。

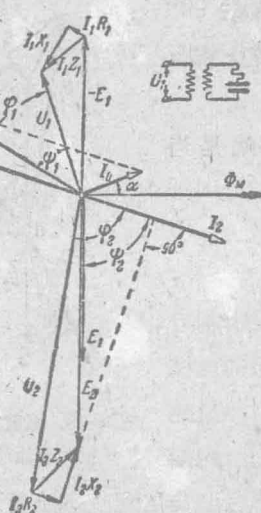


图 13-7. 电容性负载时变压器的向量图。

13-7. 归化的变压器

在大多数情形下, 变压器的变比是相当高的。因此要在变压器向量图上把高压边和低压边的电压, 例如 6000 伏和 230 伏, 用同一比例尺画出来是有困难的。此外, 最好使得原电路和副电路的参数——它们的电阻和电抗能够直接地加以比拟。如果我们把副绕组的匝数“转化”为原绕组的匝数, 亦即把 $w_1 \neq w_2$ 的实在的变压器用变比为 1 的理想的归化变压器来替代的话, 那末分别属于变压器两边的各个量之间的关系就变得简单而且明白了。

在进行这样的归化时, 应该使原绕组的情况不变, 而在副电路中则

应保持其能量关系——有功功率和无功功率(因为它们与变比无关)以及它们在副电路各部分的分配都不改变。

由此也自然地得出结论：在归化时不应该改变所归化的各部分的电压与电流之间的相角差。所有经过适当方式而改写的副绕组的各个量，我们称之为归化量并标之以符号(')。

根据能量关系应该不变的条件，对于所有同名的量在归化时其归化系数都应该是相同的，所以只要决定任一个电压或电动势的归化系数便够了。

在 $w_1 = w_2$ 时，电动势 $E'_2 = E_1$ ，又因 $E_1 = \frac{w_1}{w_2} E_2 = k_{12} E_2$ ，所以副电动势的归化量

$$E'_2 = k_{12} E_2 = E_1. \quad (13-13)$$

同样的归化系数可以用于所有的副电压：

$$U'_2 = k_{12} U_2; \quad I'_2 R'_2 = k_{12} I_2 R_2; \quad I'_2 X'_2 = k_{12} I_2 X_2.$$

副绕组的表现功率在归化时其数值应保持不变：

$$S_2 = E_2 I_2 = E'_2 I'_2 = k_{12} E_2 I'_2;$$

于是，

$$I'_2 = \frac{1}{k_{12}} I_2 = \frac{w_2}{w_1} I_2; \quad (13-14)$$

副绕组的归化副电流在数值上就等于原电流中平衡副电流的去磁作用的那个分量，但在相位上二者恰相反。

从有功功率不变的条件可得：

$$I_2^2 R_2 = I'^2_2 R'_2 = \frac{1}{k_{12}^2} I_2^2 R'_2,$$

所以副绕组电阻的归化量为

$$R'_2 = k_{12}^2 R_2. \quad (13-15)$$

无功功率 Q 在归化时亦应维持不变，因此

$$I_2^2 X_2 = I'^2_2 X'_2 = \frac{1}{k_{12}^2} I_2^2 X'_2,$$

这就可以决定副绕组电感抗的归化量：

$$X'_2 = k_{12}^2 X_2 \quad (13-16)$$

归化的变压器向量图与上述图 13-6 的向量图的区别仅是：其中 $E_1 = E'_2$ ，同时可以将原、副电压及电流直接比较。这样便可能，例如，直接用伏特为单位来决定归化到副绕组上的变压器压损：

$$\Delta U = U_1 - U'_2.$$

13-8. 变压器的等效电路

为了计算方便，有时也为了便于研究复杂的电路，可以用一个阻抗的组合——等效电路来代替实际的变压器。当等效电路接在变压器原来所在的位置时，它将从原电路中取得与原来的变压器一样的功率，并且其电流和相角也一样。当然，等效电路只是作为一个负载在原电路里代替变压器——等效电路是没有变压器作用的。

用变压器的各个参数，我们来立出决定等效电路的参数的方程式：

$$\begin{aligned} \dot{U}_1 &= \dot{I}_1 Z_1 + (-\dot{E}_1) = \dot{I}_1 Z_1 - k_{12} \dot{E}_2 \\ \dot{E}_2 &= \dot{I}_2 Z_2 + \dot{U}_2 = \dot{I}_2 Z_2 + \dot{I}_2 Z_n \end{aligned} \quad (13-17)$$

把 $\dot{I}_2 = -\dot{I}'_2 k_{12}$ 代入后一式，并把 \dot{E}_2 的表达式代入 \dot{U}_1 的方程，则得

$$\dot{U}_1 = \dot{I}_1 Z_1 + \dot{I}'_2 k_{12}^2 Z_2 + \dot{I}'_2 k_{12}^2 Z_n.$$

此处 $k_{12}^2 Z_2 = Z'_2$ 是副绕组内阻抗的归化量，而 $k_{12}^2 Z_n = Z'_n$ 是联接于变压器副电路的负载阻抗的归化量。如此就得到等效电路的第一个方程式：

$$\dot{U}_1 = \dot{I}_1 Z_1 + \dot{I}'_2 Z'_2 + \dot{I}'_2 Z'_n. \quad (13-18)$$

电压 $(-\dot{E}_1)$ 正比于铁心磁通 Φ_m 。由于铁心的 μ 不是常量的缘故， Φ_m 和电流 I_0 的关系是非直线性的。但是在变压器运行时磁通变化不大，所以可以不顾非直线性关系而认为 Φ_m 正比于 I_0 。从这一论点出发可以认为 $(-\dot{E}_1)$ 正比于 I_0 。因为上述二向量间的相角差小于 90° （图 13-8），所以可以把其间比例常数当作某一阻抗 Z_{12} ，后者称作激磁电路的阻抗。那么， $-\dot{E}_1 = \dot{I}_0 Z_{12}$ 。把这个关系代入原电压的方

程式(13-17), 則得等效电路的第二个方程式:

$$\dot{U}_1 = \dot{I}_1 Z_1 + \dot{I}_0 Z_{12} \quad (13-19)$$

原电流的方程:

$$\dot{I}_1 = \dot{I}_0 + \dot{I}'_2 \quad (13-20)$$

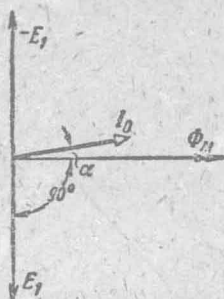


图 13-8. 磁通磁化电流和感应
电动势的向量图。

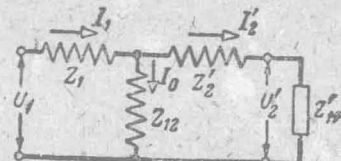


图 13-9. 变压器的 T 形等效电路。

作为等效电路的第三个方程式。

上述三个方程可以看作是图 13-9 中的线路根据克希荷夫两个定律所写出的方程。这样就得到原来的变压器的 T 形等效电路, 其中 Z_1 代表了原绕组, Z'_2 代表了副绕组, 而 Z_{12} 代表激磁电路。阻抗 Z'_n 代表接通副绕组的负载, 所以归在变压器等效电路之外。 Z'_n 的变化相当于负载的变化, 再根据等效电路中电流和部分电压的变化可以研究真实的变压器中的情况。

与变压器的向量图的区别是, 等效电路的向量图中副电压和电流的向量归化到原绕组上, 并转过 180° 。宜从向量 $\dot{E}_1 = \dot{E}'_2$ 开始画这一向量图 (图 13-10)。和这一向量相比, 归化的副电流的向量 I'_2 要落后一定的角度

$$\psi_2 = \arctan \frac{X'_2 \pm X'_n}{R'_2 + R'_n},$$

而磁化电流 I_0 的向量则落后 $90^\circ - \alpha$ 。其他副电压向量的作图和在变压器的向量图 (图 13-6) 中一样: 从向量 E'_2 的末端作垂直于 I'_2 的垂线, 在这垂线上标以 $I'_2 X'_2$ 等等。接着将 \dot{I}'_2 和 \dot{I}_0 相加, 求出 \dot{I}_1 , 然后和在变压器的向量图中一样, 画原电压向量 $\dot{I}_1 R_1$, $\dot{I}_1 X_1$, $\dot{I}_1 Z_1$ 和 U_1 。等效电路的向量图时常称为归化的变压器向量图。

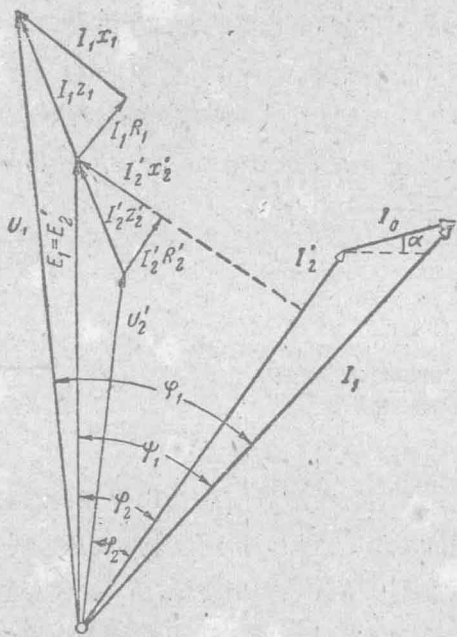


图 13-10. 图 13-9 等效电路的向量图。

对于已制成的变压器，实际上不可能分别地决定 X_1 和 X_2 ，这样便使画相应的等效电路时遇到困难；为了使这种作图变得非常简单，只要忽略电流 I_0 就行；因此，认为 $\dot{I}_1 = \dot{I}_2$ 。上面已经指出， I_0 等于 I_1 额定值的 3—10%。但是，由于忽略 I_0 所引起的误差将由于 \dot{I}_2 和 \dot{I}_0 是几何相加而减少。此外，在计算变压器中的电压降时，这一误差并不重要，因为它仅是影响电压降 $\dot{I}_1 Z_1$ ，而这一电压降本身只有 U_1 的 3—5%。

图 13-11. 变压器的简化等效电路。

如果省略电流 I_0 的支路, 则在简化了的等效电路(图 13-11)中, 线段 Z_1 和 Z'_2 就简直是串联着了, 而且它们的电阻和电抗便可以相加:

$$P_1 + P'_2 = R, \quad X_1 + X'_2 = X,$$